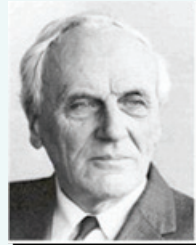


6 Reprezentări de semnale prin ecuații cu diferențe

Grafuri de semnale (continuare)

Există o schemă de calcul mai eficientă?

Teorema 3 (Tellegen)

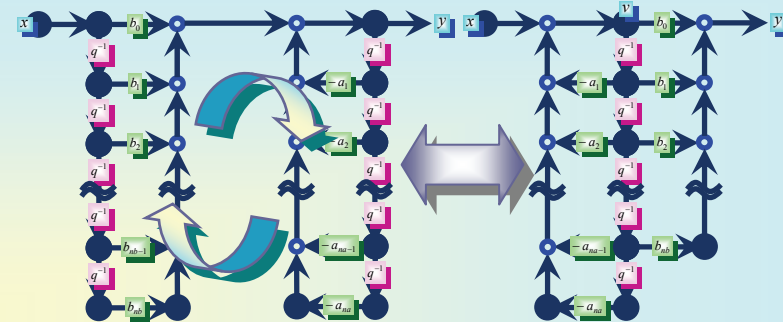


Schema directă de calcul utilizată pentru rezolvarea unei ecuații cu diferențe este echivalentă cu schema obținută prin inversarea blocurilor de intrare și ieșire, păstrând semnalele de intrare și ieșire în pozițiile inițiale.

Demonstrație (schită)

Ecuația cu diferențe se poate exprima în mod echivalent cu ajutorul polinoamelor Laurent:

$$y[n] = \frac{B(q^{-1})}{A(q^{-1})} x[n] \quad \forall n \in \mathbb{Z}.$$



Se poate evalua mai întâi ieșirea cauzală a filtrului IIR care are numai poli:

$$v[n] \stackrel{\text{def}}{=} \frac{1}{A(q^{-1})} x[n], \quad \forall n \geq 0 \quad \Leftrightarrow \quad v[n] = x[n] - a_1 v[n-1] - \dots - a_{na} v[n-na], \quad \forall n \geq 0.$$

Apoi, se poate evalua ieșirea cauzală a filtrului FIR stimulat cu ieșirea filtrului IIR:

$$y[n] = B(q^{-1}) v[n], \quad \forall n \geq 0 \quad \Leftrightarrow \quad y[n] = b_0 v[n] + b_1 v[n-1] + \dots + b_{nb} v[n-nb], \quad \forall n \geq 0.$$



6 Reprezentări de semnale prin ecuații cu diferențe

Grafuri de semnale (continuare)

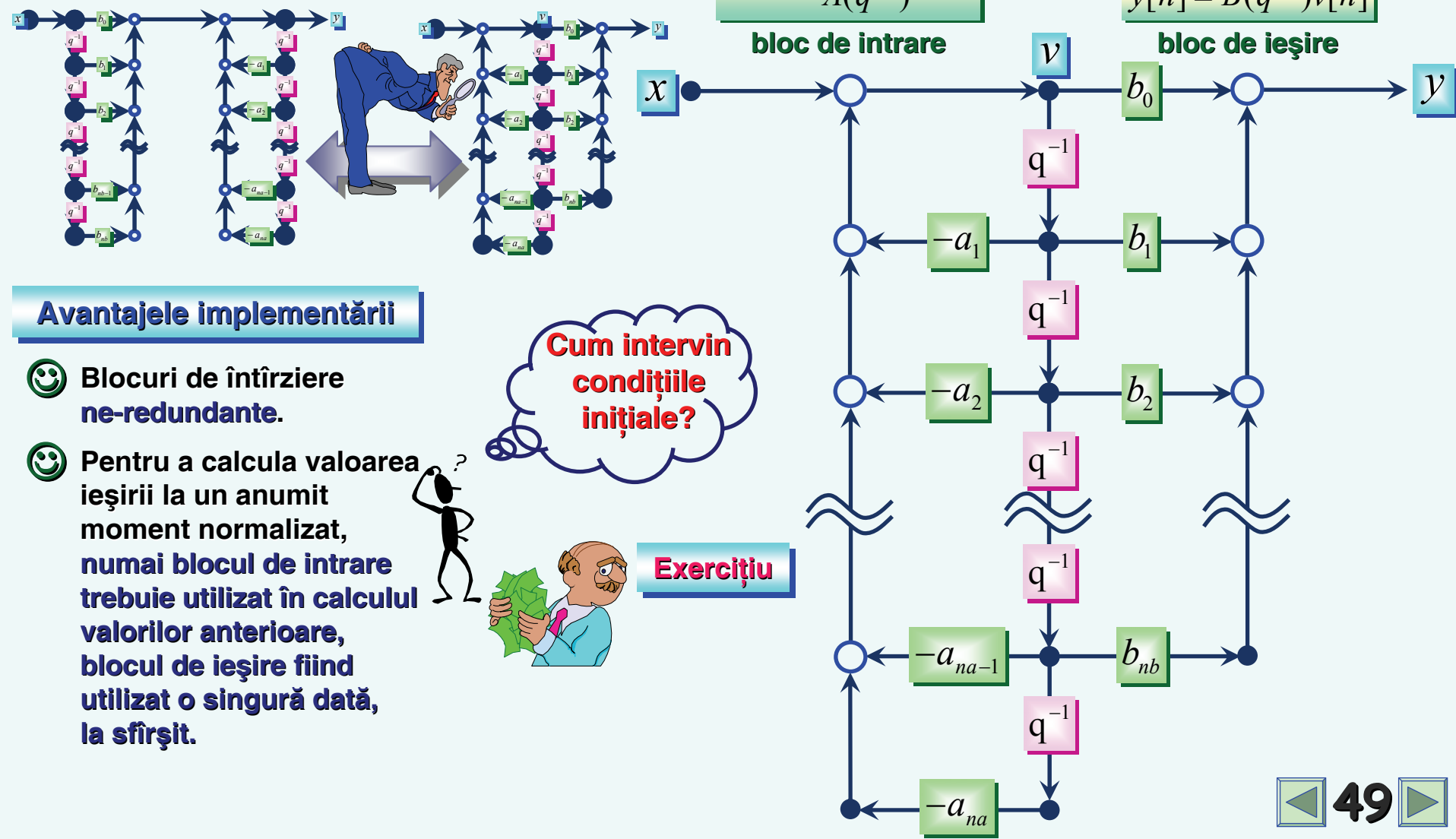
Schema eficientă de calcul recursiv (forma directă II)

$$v[n] \stackrel{\text{def}}{=} \frac{1}{A(q^{-1})} x[n]$$

bloc de intrare

$$y[n] = B(q^{-1})v[n]$$

bloc de ieșire



Avantajele implementării

- 😊 Blocuri de întârziere ne-redundante.
- 😊 Pentru a calcula valoarea ieșirii la un anumit moment normalizat, numai blocul de intrare trebuie utilizat în calculul valorilor anterioare, blocul de ieșire fiind utilizat o singură dată, la sfârșit.

Cum intervin condițiile inițiale?

Exercițiu



⑥ Reprezentări de semnale prin ecuații cu diferențe

Grafuri de semnale (continuare)

Schema alternativă de calcul recursiv (**forma transpusă II**)

Există o schemă de calcul
și mai eficientă?



Oarecum. Se poate reduce
și numărul de sumatoare.

$$y[n] = -\sum_{p=1}^{na} a_p y[n-p] + \sum_{m=0}^{nb} b_m x[n-m]$$

$\forall n \in \mathbb{N}$

$$y[n] = b_0 x[n] +$$

$$+ q^{-1} (b_1 x - a_1 y)[n] +$$

$$+ q^{-2} (b_2 x - a_2 y)[n] +$$

.....

$$+ q^{-k} (b_k x - a_k y)[n] +$$

.....

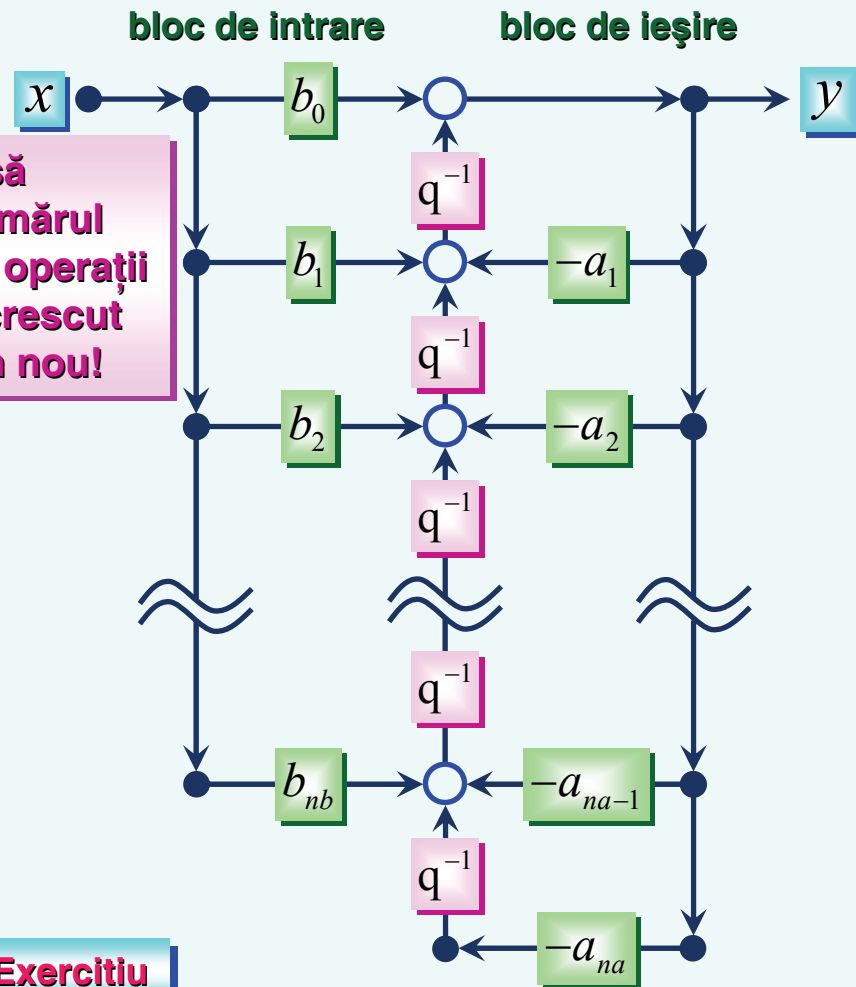
$\forall n \in \mathbb{N}$

Observați
gruparea
termenilor în
funcție de
întârzieri!

Însă
numărul
de operații
a crescut
din nou!

Exercițiu

- Arătați cum se poate implementa schema de mai sus, astfel încât să se evite bucla algebrică.





⑥ Reprezentări de semnale prin ecuații cu diferențe

Grafuri de semnale (final)

Exemplu: o ecuație de ordin II

$$y[n] - y[n-1] - 2y[n-2] = 3x[n] + 4x[n-1]$$

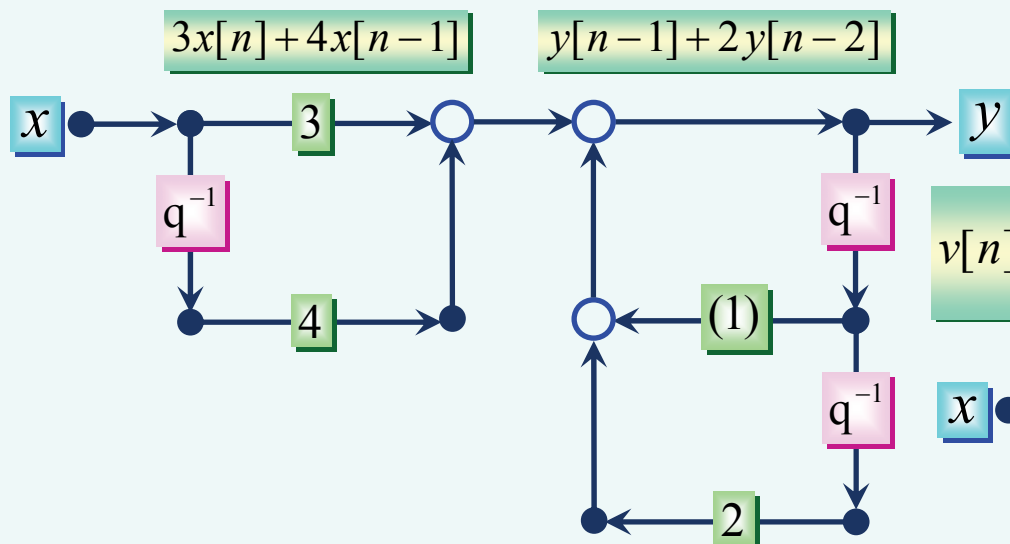
$\forall n \in \mathbb{Z}$

Condiții inițiale:

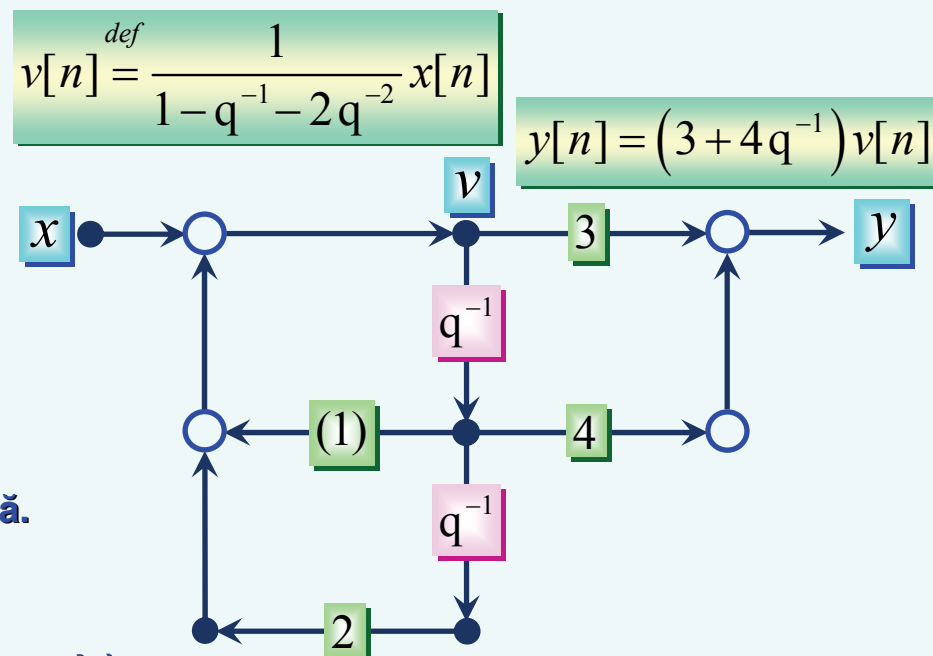
$$y[0] = y_0$$

$$y[-1] = y_{-1}$$

Schema directă I



Schema directă II



Exerciții

- Trasați schema în forma transpusă II aferentă.
- Calculați $y[3]$ cu toate cele 3 scheme și comparați efortul de calcul.
- Calculați $y[-4]$ cu schemele aferente (anti-cauzale) și comparați efortul de calcul.

7 Algoritmi fundamentali de tip FFT



7.1 Obiectiv



$$TFD_N(x)[k] \stackrel{\text{def}}{=} X[k] = \sum_{n=0}^{N-1} x[n] w_N^{nk} \quad \forall k \in \overline{0, N-1}$$



Implementarea eficientă a TFD

Relația de calcul pe care se fundamentează procesoarele de semnal.

Efortul de calcul al definiției.

$$X[k] = \sum_{n=0}^{N-1} \left[\underbrace{\text{Re}(x[n]) \cos \omega_{nk}^N + \text{Im}(x[n]) \sin \omega_{nk}^N}_{\text{două înmulțiri și o adunare}} + j \sum_{n=0}^{N-1} \underbrace{\left[\text{Im}(x[n]) \cos \omega_{nk}^N - \text{Re}(x[n]) \sin \omega_{nk}^N \right]}_{\text{două înmulțiri și o adunare}} \right] \quad \forall k \in \overline{0, N-1}$$

două înmulțiri și o adunare

două înmulțiri și o adunare

2N înmulțiri și 2N-1 adunări

2N înmulțiri și 2N-1 adunări

Cum poate fi micșorat efortul de calcul?

$$\mathcal{O}_{TFD}[N] = [4N^2]_{\bullet} + [2N(2N-1)]_{+} \sim 4N^2$$

- O ușoară scădere a efortului de calcul se obține prin **contorizarea doar a operațiilor cu operanzi nebanali** (adică pentru $n \neq 0$ și $k \neq 0$).

Prin exploatarea proprietăților armonicelor elementare.

Exercițiu

- O reducere de aproape 2 ori a efortului de calcul se obține pe seama **simetriei/periodicității armonicelor elementare**.

$$w_N^{k(N-n)} = \overline{w_N^{kn}}$$

$$\forall n, k \in \overline{0, N-1}$$

7 Algoritmi fundamentali de tip FFT

7.1 Obiectiv

- Un algoritm care conduce la o **reducere de 4 ori** a efortului de calcul este bazat pe **Metoda lui (Gerald) Goertzel**.
- Acest algoritm exploatează periodicitatea armonicelor elementare.



👉 Pentru a obține o reducere semnificativă a efortului de calcul, proprietățile armonicelor elementare trebuie combinate cu o aranjare eficientă a datelor.

Algoritmi Fourier rapizi (de tip FFT – Fast Fourier Transform)

Algoritmi bazați
pe segmentarea
în timp

Algoritmi bazați
pe segmentarea
în frecvență

Algoritmi cu
structură internă
variabilă

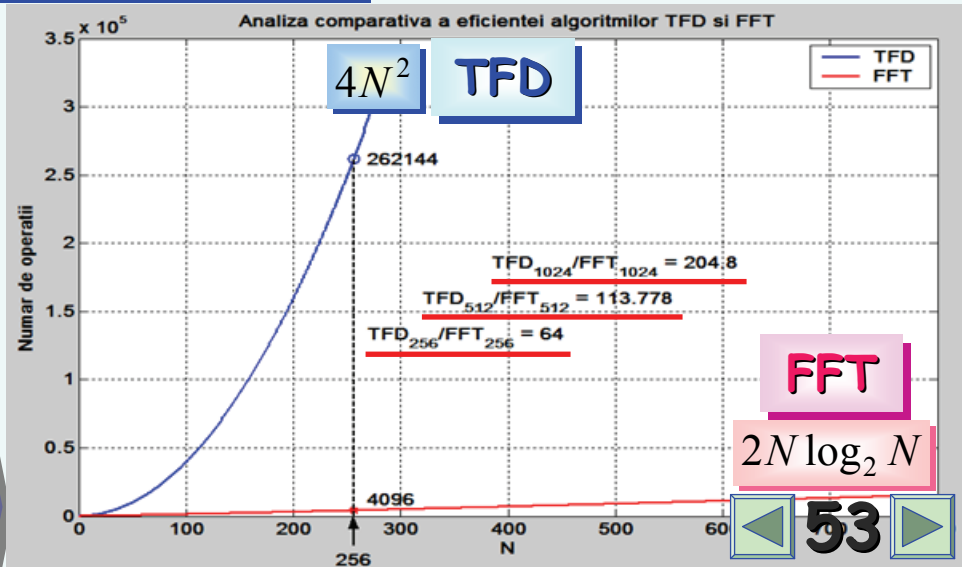
Algoritmi de tip
Singleton (cu structură
internă constantă)

Algoritmi Cooley-Tukey (1965)



Cu ajutorul algoritmilor din familia FFT, se obține un efort de calcul **sensibil mai mic**.

Analiză comparativă a eficienței algoritmilor TFD (definiție) și FFT



7 Algoritmi fundamentali de tip FFT

7.2 Algoritmul lui Goertzel



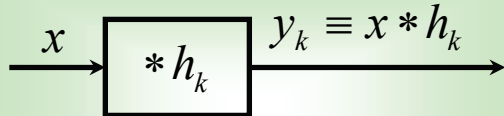
Prima variantă de calcul a TFD

Exprimare echivalentă a TFD

$$X[k] = \sum_{n=0}^{N-1} x[n] \bar{w}_N^{k(N-n)}, \quad \forall k \in \overline{0, N-1}$$

$$\begin{pmatrix} w_N^{kN} = 1 \\ \forall k \in \overline{0, N-1} \end{pmatrix}$$

ieșirea la momentul N
a unui SLID



$$h_k[p] \stackrel{\text{def}}{=} \bar{w}_N^{kp} u_0[p], \quad \forall p \in \mathbb{Z}$$

periodicitate

sumă de convoluție

$$\text{Supp}(x) = \overline{0, N-1}$$

$$y_k[p] = \sum_{n \geq 0} x[n] h_k[p-n] = \sum_{n=0}^{N-1} x[n] \bar{w}_N^{k(p-n)}$$

$$\forall p \in \overline{0, N-1}$$

$$X[k] = y_k[N], \quad \forall k \in \overline{0, N-1}$$

Funcția de transfer
a sistemului

$$H_k(z) \stackrel{\text{def}}{=} \sum_{p \geq 0} h_k[p] z^{-p} = \sum_{p \geq 0} (\bar{w}_N^k z^{-1})^p = \frac{1}{1 - \bar{w}_N^k z^{-1}}, \quad \forall k \in \overline{0, N-1}$$

$$|z| > 1$$

Teorema întârzierii

$$z^{-1} \mathcal{Z}(f)(z) = \mathcal{Z}(q^{-1} f)(z)$$

Ecuția recursivă a ieșirii

$$y_k[n] - \bar{w}_N^k y_k[n-1] = x[n] \quad \forall n \in \mathbb{Z}$$

Ecuția recursivă a TFD

$$\begin{cases} y_k[0] = x[0] \\ y_k[1] = \bar{w}_N^k y_k[0] + x[1] \\ \vdots \\ y_k[N] = \bar{w}_N^k y_k[N-1] + x[N] = \bar{w}_N^k y_k[N-1] = X[k] \end{cases}$$

$$\forall k \in \overline{0, N-1}$$

7 Algoritmi fundamentali de tip FFT

7.2 Algoritmul lui Goertzel

A doua variantă de calcul a TFD (îmbunătățită)

Exprimare echivalentă ecuației recursive anterioare

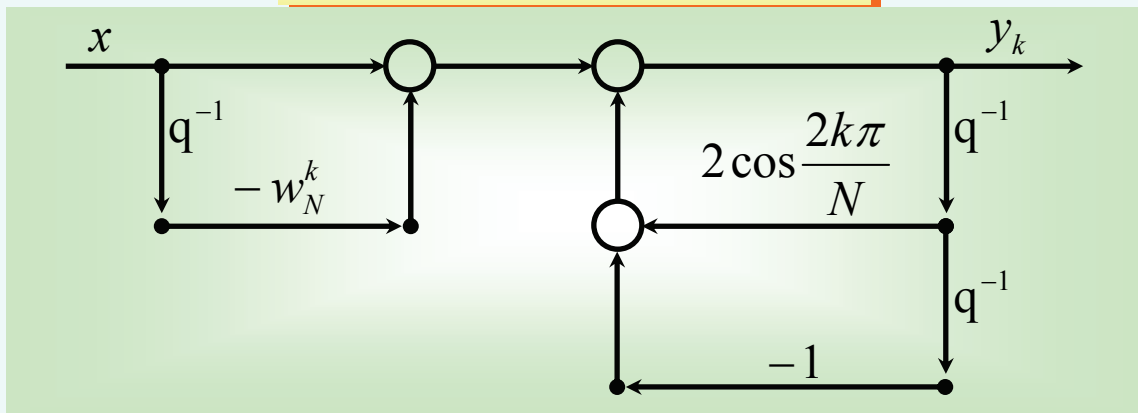
$$(1 - \bar{w}_N^k q^{-1}) y_k[n] = x[n], \quad \forall n \in \overline{0, N}, \quad \forall k \in \overline{0, N-1}$$

înmulțire forțată cu $(1 - w_N^k q^{-1})$

$$\left(1 - 2 \cos \frac{2k\pi}{N} q^{-1} + q^{-2}\right) y_k[n] = (1 - w_N^k q^{-1}) x[n], \quad \forall n \in \overline{0, N}, \quad \forall k \in \overline{0, N-1}$$

$$y_k[n] = 2 y_k[n-1] \cos \frac{2k\pi}{N} - y_k[n-2] + x[n] - w_N^k x[n-1], \quad \forall n \in \overline{0, N}, \quad \forall k \in \overline{0, N-1}$$

Schema de calcul directă I



Inițializare

$$y_k[-1] = y_k[-2] = 0 \\ \forall k \in \overline{0, N-1}$$

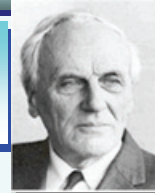
7 Algoritmi fundamentali de tip FFT

7.2 Algoritmul lui Goertzel

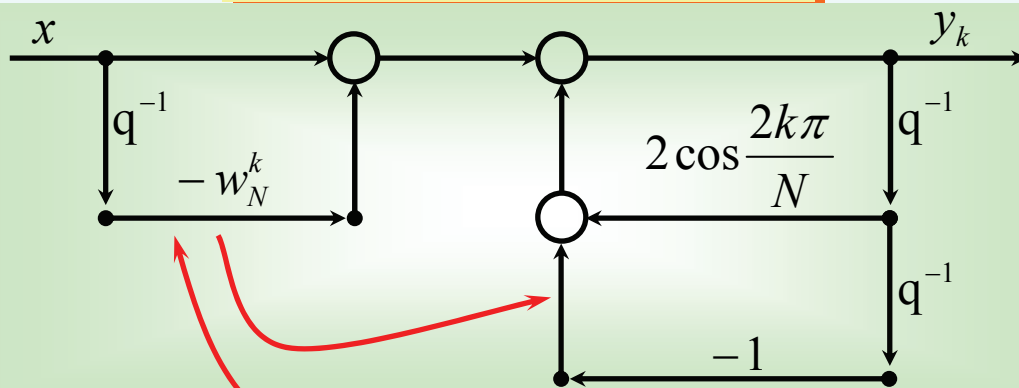
Varianta eficientă de calcul a TFD



Schema anterioară de calcul se poate transforma echivalent, folosind **Teorema lui TELLEGEN**.



Schema de calcul directă I



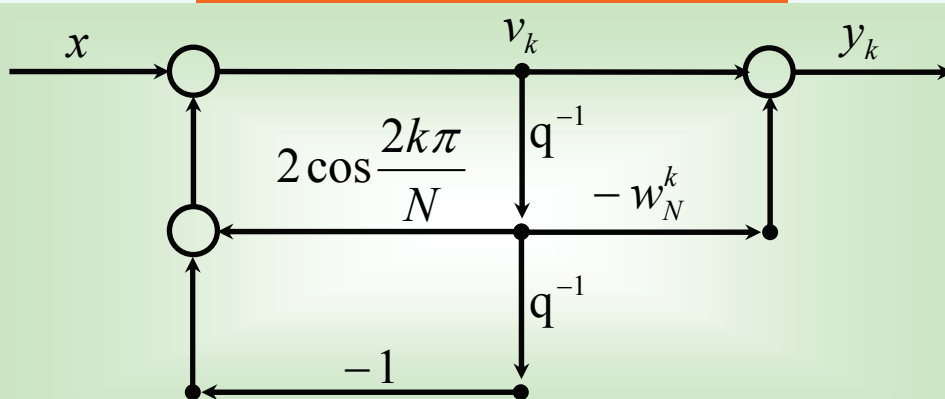
Algoritmul lui Goertzel

$$\begin{cases} v_k[-2] = v_k[-1] = 0 \\ \vdots \\ v_k[n] = 2 \cos \frac{2k\pi}{N} v_k[n-1] - v_k[n-2] + x[n] \\ \vdots \\ v_k[N] = 2 \cos \frac{2k\pi}{N} v_k[N-1] - v_k[N-2] \end{cases}$$

$$X[k] = y_k[N] = v_k[N] - w_N^k v_k[N-1]$$

$$\forall k \in \overline{0, N-1}$$

Schema de calcul directă II



Număr de operații

$$O_1[N] = \left[\left\lceil \frac{N-1}{2} \right\rceil (2N+5) \right] + [4N(N+1)]_+ \sim N^2$$

de 4 ori mai mic

7 Algoritmi fundamentali de tip FFT

7.3 Algoritmul bazat pe segmentarea în timp (FFT-t)



Principiul segmentării în timp



TFD

$$X[k] = \sum_{n=0}^{N-1} x[n] w_N^{nk}, \quad \forall k \in \overline{0, N-1}$$

Segment cu eșantioane de ordin par

Segment cu eșantioane de ordin impar

Exprimare echivalentă a TFD, pentru $N = 2M$

$$X[k] = \sum_{m=0}^{M-1} x[2m] w_{2M}^{2mk} + \sum_{m=0}^{M-1} x[2m+1] w_{2M}^{(2m+1)k} \quad \forall k \in \overline{0, N-1}$$

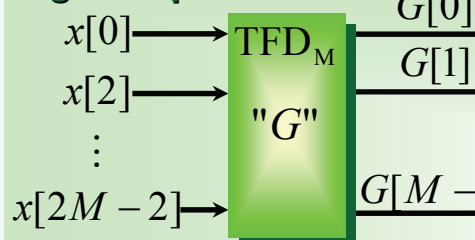
$$w_{2M}^{2mk} = w_M^{mk}$$

$$X[k] = \underbrace{\sum_{m=0}^{M-1} x[2m] w_M^{mk}}_{G[k]} + w_{2M}^k \underbrace{\sum_{m=0}^{M-1} x[2m+1] w_M^{mk}}_{H[k]} \quad \forall k \in \overline{0, N-1}$$

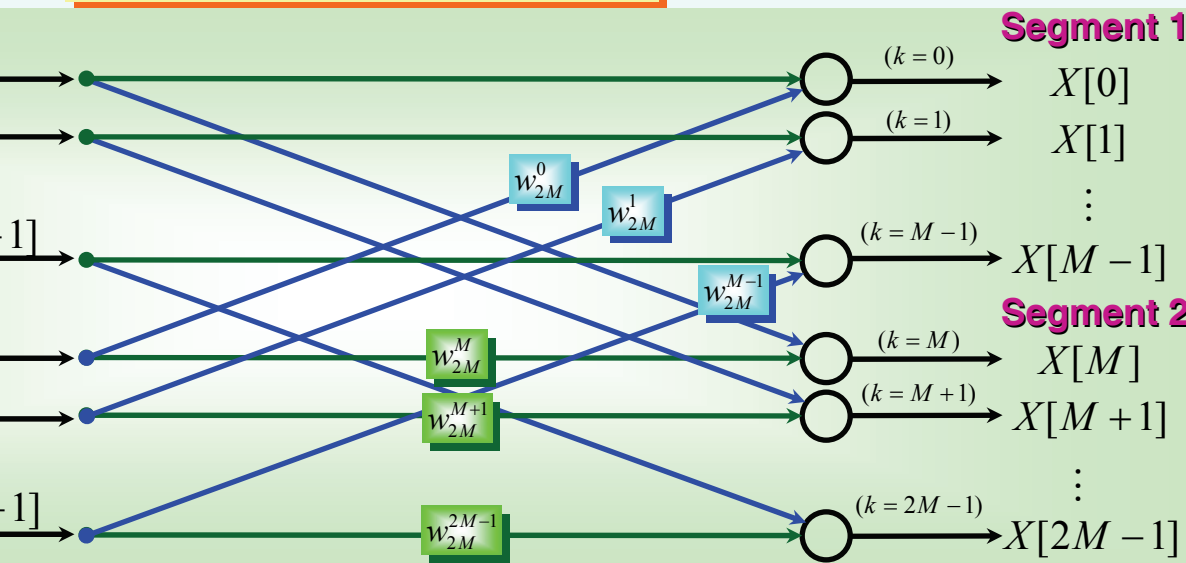
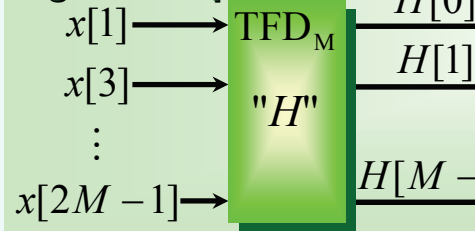
Periodicitatea lui w_M^{mk}

Schema globală de calcul

Segment par



Segment impar



Segment 1
Segment 2

7 Algoritmi fundamentali de tip FFT

7.3 Algoritmul bazat pe segmentarea în timp (FFT-t)



Dacă $N = 4M$, semnalul poate fi partajat în 4 segmente (fiecare segment din perechea anterioară este împărțit într-o nouă pereche de segmente, mai scurte).

TFD_{4M} poate fi evaluată cu ajutorul a 4 TFD_M

În general, dacă $N = 2^L$, semnalul poate fi partajat în 2^{L-1} segmente (fiecare segment avînd doar 2 eșantioane).

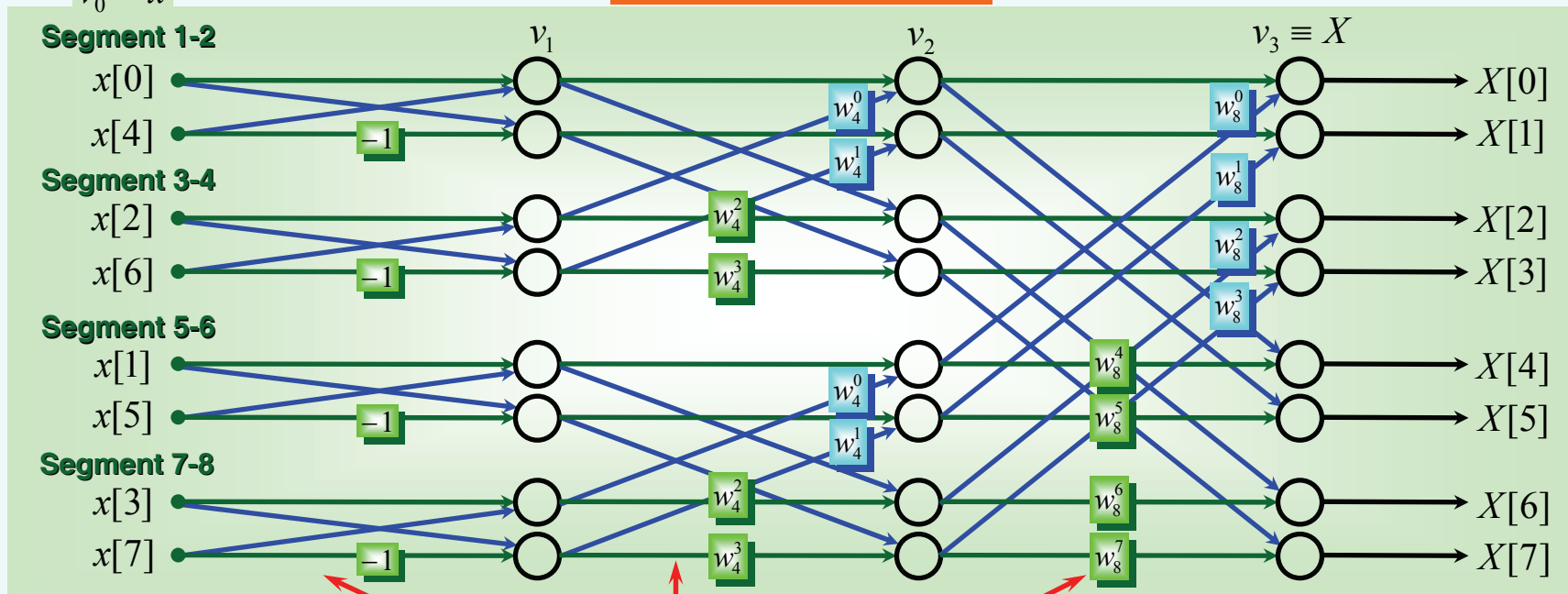
TFD_N poate fi evaluată cu ajutorul a $(L-1)$ TFD₂

👉 Tehnica *divide and conquer*.

Exemplu $N = 8 = 2^3$

$$\begin{aligned} X[0] &= x[0] + x[1] \\ X[1] &= x[0] - x[1] \end{aligned}$$

Schema de calcul



👉 3 trepte de calcul paralel

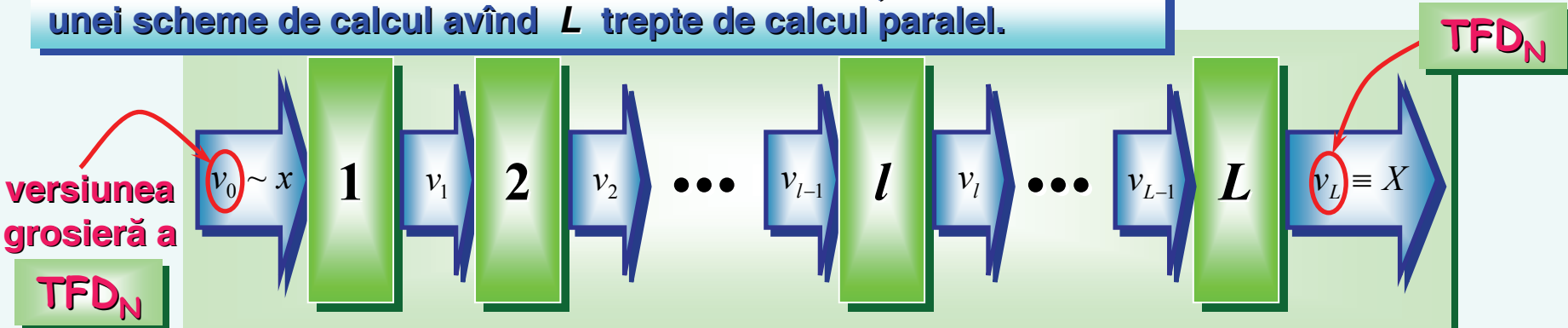
7 Algoritmi fundamentali de tip FFT

7.3 Algoritmul bazat pe segmentarea în timp (FFT-t)



Prima variantă de calcul

În general, dacă $N = 2^L$, valorile TFD_N se pot obține cu ajutorul unei scheme de calcul avînd L trepte de calcul paralel.



Semnalul inițial, v_0 , obținut prin rearanjarea eșantioanelor lui x , este transformat succesiv în semnalele intermediare v_1, v_2, \dots, v_{L-1} , semnalul final v_L fiind identic cu TFD_N .

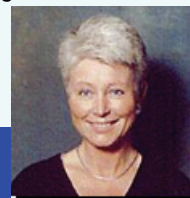
⚡ Fiecare semnal are $N = 2^L$ eșantioane. $v_l \equiv [v_l[1] \ v_l[2] \ \dots \ v_l[N]]^T, \forall l \in \overline{0, L}$

Aranjarea eșantioanelor lui X în v_L :

... și în anii '90

$v_L[k] = X[k-1], \forall k \in \overline{1, 2^L}$ ⚡ Nu este necesară rearanjarea eșantioanelor.

Practic, semnalul inițial este rafinat succesiv pînă cînd se obține rezultatul final.



Proces similar dezvoltării hîrtiei fotografice.

⚡ Una dintre cele mai utilizate imagini în compresia de date.



Fotomodelul suedez Lena Soderberg în anii '70

7 Algoritmi fundamentali de tip FFT

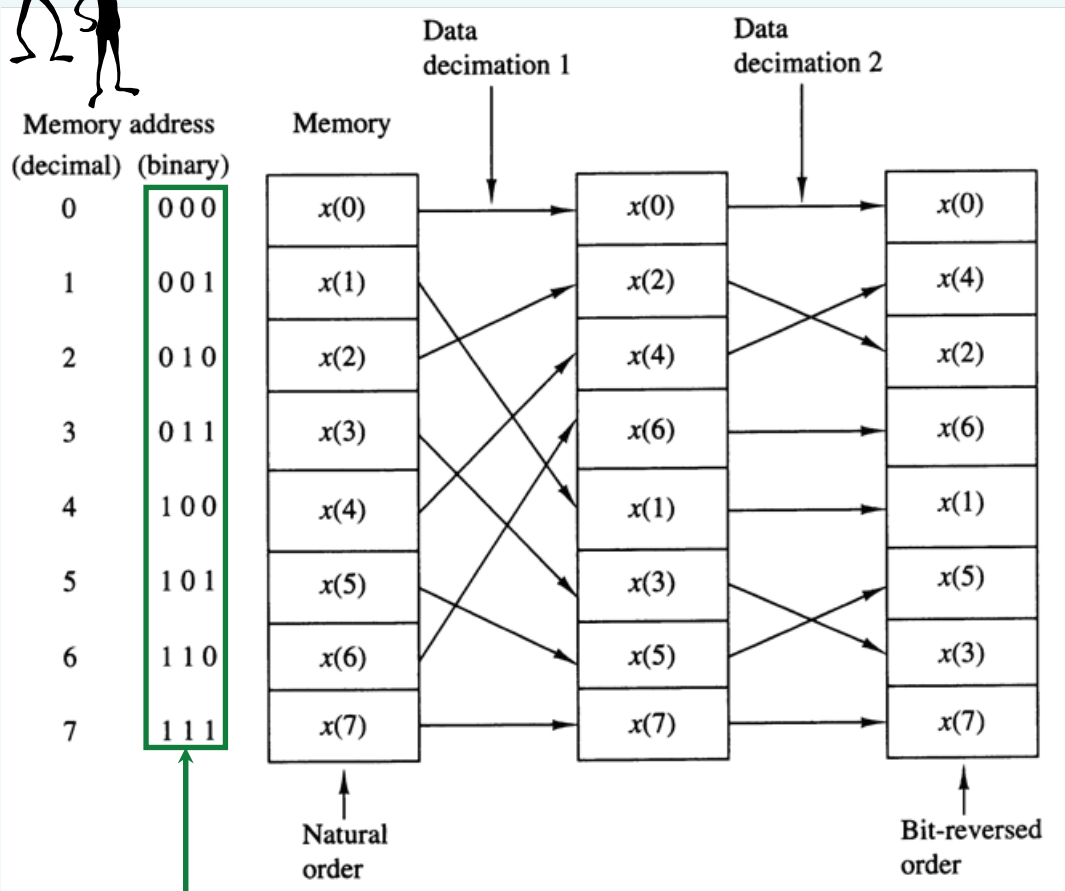
7.3 Algoritmul bazat pe segmentarea în timp (FFT-t)



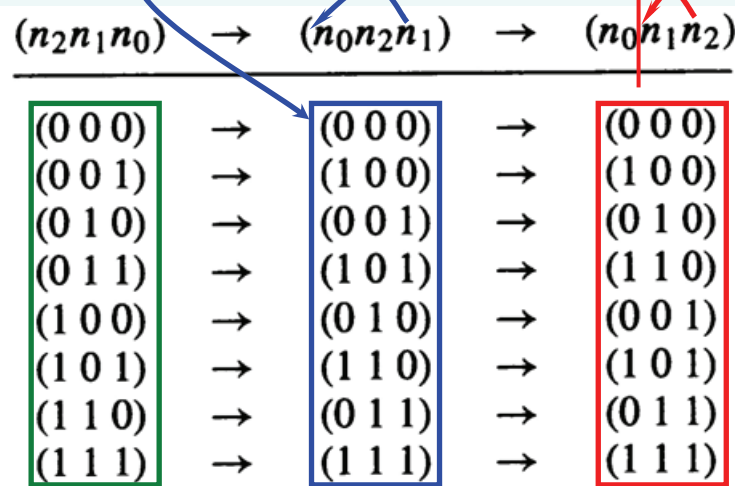
Cum se poate realiza aranjarea eșantioanelor lui x în v_0 ?

Prima variantă de calcul (continuare)

Prin inversarea binară a indexului inițial.



Observați și maniera de indexare pe nivelul intermediar.



Reprezentare binară a indexului inițial (pe L biți)

Reprezentare binară a indexului de segment (tot pe L biți)

7 Algoritmi fundamentali de tip FFT

7.3 Algoritmul bazat pe segmentarea în timp (FFT-t)



Prima variantă de calcul (final)

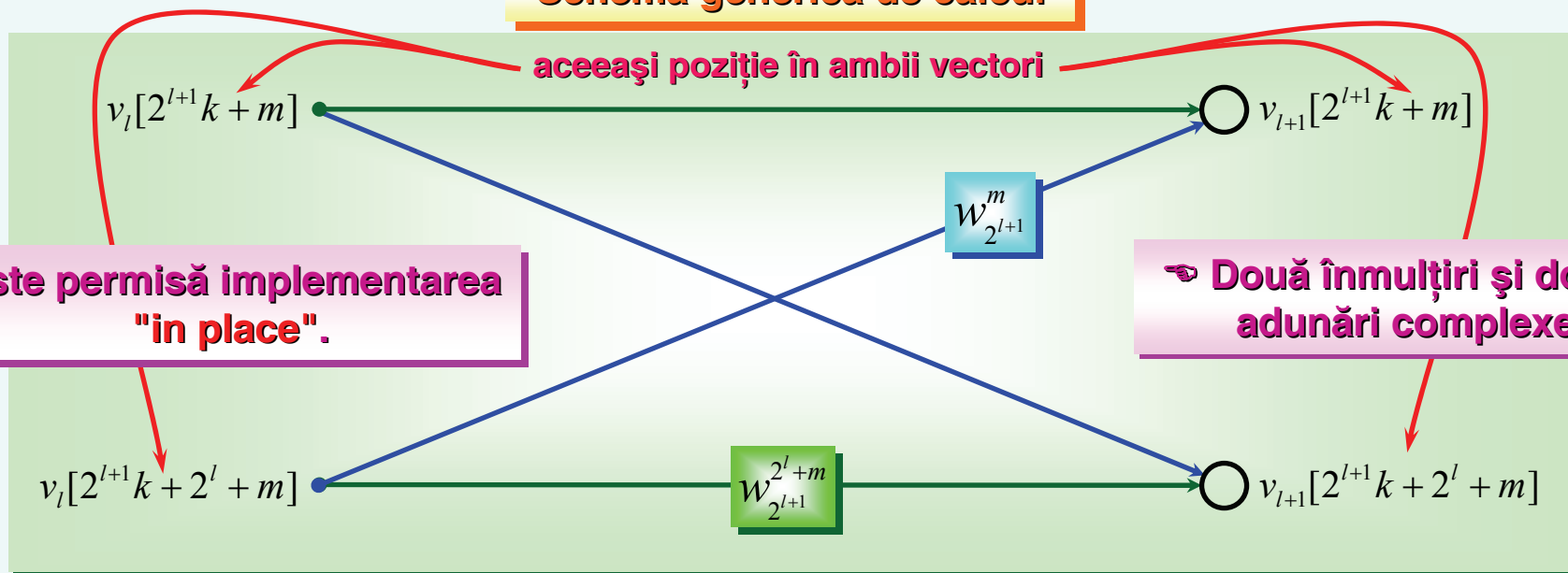
Relațiile de calcul dintre eșantioanele lui v_{l+1} și v_l (pe treapta $l+1$):

$$\begin{cases} v_{l+1}[2^{l+1}k + m] = v_l[2^{l+1}k + m] + w_{2^{l+1}}^m v_l[2^{l+1}k + 2^l + m] \\ v_{l+1}[2^{l+1}k + 2^l + m] = v_l[2^{l+1}k + m] + w_{2^{l+1}}^{2^l + m} v_l[2^{l+1}k + 2^l + m] \end{cases}$$

Prima treaptă de calcul este exceptată, fiind constituită doar din fluturi de tip TFD₂.

$$\begin{cases} \forall l \in \overline{1, L-1} \\ \forall m \in \overline{0, 2^l - 1} \\ \forall k \in \overline{0, 2^{L-l-1} - 1} \end{cases}$$

Schema generică de calcul



Număr de operații

DFT : $\mathcal{O}_0[N] = [4N^2]_{\bullet} + [2N(2N-1)]_{+} \sim 4N^2$

FFT-t : $\mathcal{O}_2[N] = [4N \log_2 N]_{\bullet} + [4N \log_2 N]_{+} \sim 4N \log_2 N$

7 Algoritmi fundamentali de tip FFT

7.3 Algoritmul bazat pe segmentarea în timp (FFT-t)



A doua variantă de calcul, eficientă

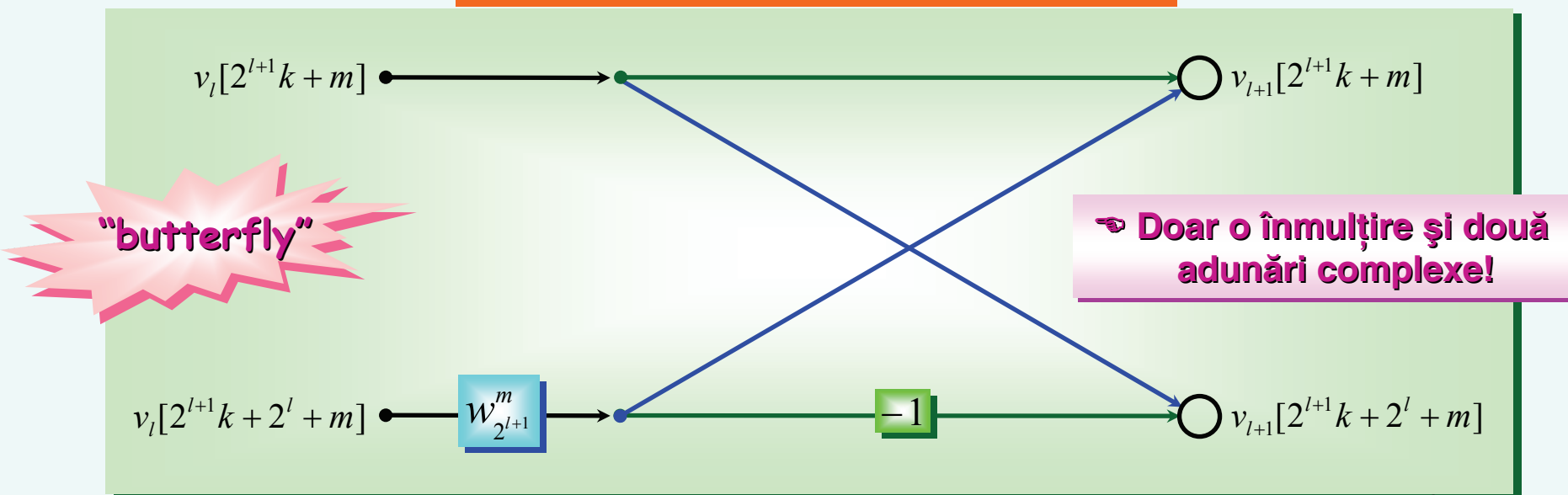
Relații de calcul între semnale intermediare succesive (pe treapta $l+1$)

$$\begin{cases} v_{l+1}[2^{l+1}k + m] = v_l[2^{l+1}k + m] + w_{2^{l+1}}^m v_l[2^{l+1}k + 2^l + m] \\ v_{l+1}[2^{l+1}k + 2^l + m] = v_l[2^{l+1}k + m] - w_{2^{l+1}}^m v_l[2^{l+1}k + 2^l + m] \end{cases}$$

$$\begin{cases} \forall l \in \overline{1, L-1} \\ \forall m \in \overline{0, 2^l - 1} \\ \forall k \in \overline{0, 2^{L-l-1} - 1} \end{cases}$$

Antisimetrie: $w_{2M}^{M+m} = -w_{2M}^m$

Schema generică echivalentă de calcul



Număr de operații

DFT :

$$\mathcal{O}_0[N] = [4N^2]_{\bullet} + [2N(2N-1)]_{+} \sim 4N^2$$

FFT-t :

$$\mathcal{O}_2[N] = [2N \log_2 N]_{\bullet} + [2N \log_2 N]_{+} \sim 2N \log_2 N$$

Exemplu

$$N = 1024 = 2^{10}$$

$$\mathcal{O}_0[N] \sim 2^{22}$$

$$\mathcal{O}_2[N] \sim 10 \times 2^{11}$$